

**Zeitschrift:** Mémoires de la Société Vaudoise des Sciences Naturelles  
**Band:** 18 (1987-1991)  
**Heft:** 2

**Artikel:** Essai de syntaxonomie numérique appliqué aux pelouses à *Laserpitium siler*

**Anhang**

**Autor:** [s.n.]  
**DOI:** <https://doi.org/10.5169/seals-259819>

### **Nutzungsbedingungen**

Die ETH-Bibliothek ist die Anbieterin der digitalisierten Zeitschriften. Sie besitzt keine Urheberrechte an den Zeitschriften und ist nicht verantwortlich für deren Inhalte. Die Rechte liegen in der Regel bei den Herausgebern beziehungsweise den externen Rechteinhabern. [Siehe Rechtliche Hinweise.](#)

### **Conditions d'utilisation**

L'ETH Library est le fournisseur des revues numérisées. Elle ne détient aucun droit d'auteur sur les revues et n'est pas responsable de leur contenu. En règle générale, les droits sont détenus par les éditeurs ou les détenteurs de droits externes. [Voir Informations légales.](#)

### **Terms of use**

The ETH Library is the provider of the digitised journals. It does not own any copyrights to the journals and is not responsible for their content. The rights usually lie with the publishers or the external rights holders. [See Legal notice.](#)

**Download PDF:** 18.10.2024

**ETH-Bibliothek Zürich, E-Periodica, <https://www.e-periodica.ch>**

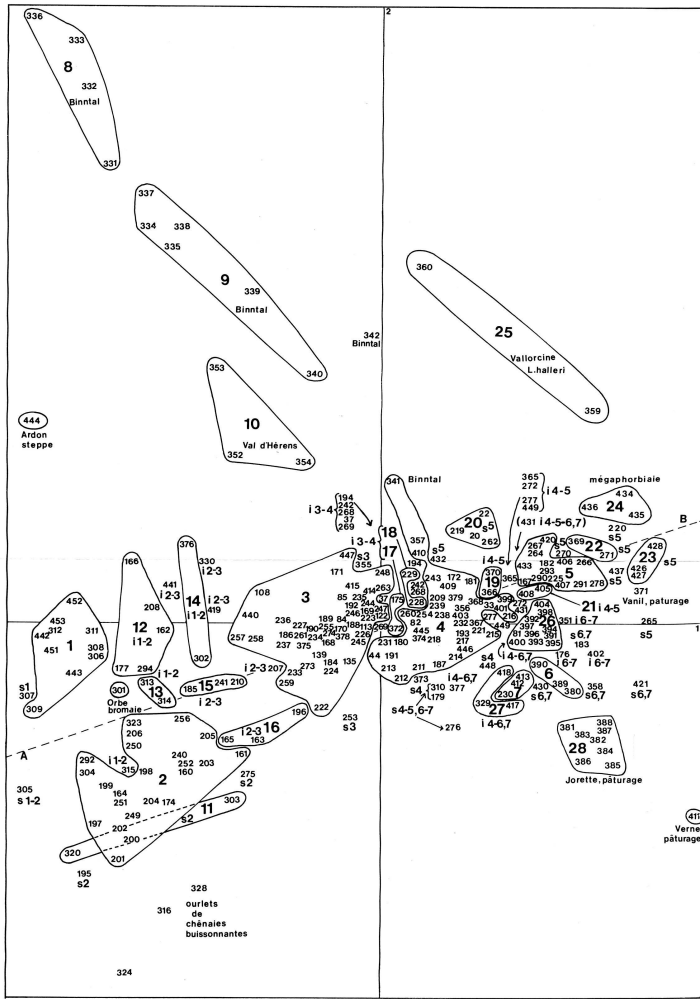


Figure 8 (Chap. 6.3.). AFC des relevés originaux de pelouses à *Laserpitium siler* 20-453 : 260 relevés, après élimination de 13 satellites trop excentriques (noyaux 29 à 32) d'une AFC préliminaire portant sur les 273 relevés de la figure 9.  
 1-28 : noyaux stables des dendrogrammes (fig. 9).  
 AB : aire approximative du nuage des pelouses riches en *Laserpitium siler* dans le diton.  
 14-6.7 : «intermédiaire» (définition sous 5.3) entre 4 et le groupe 6-7.  
 s5 : «satellite» voisin du noyau stable 5.

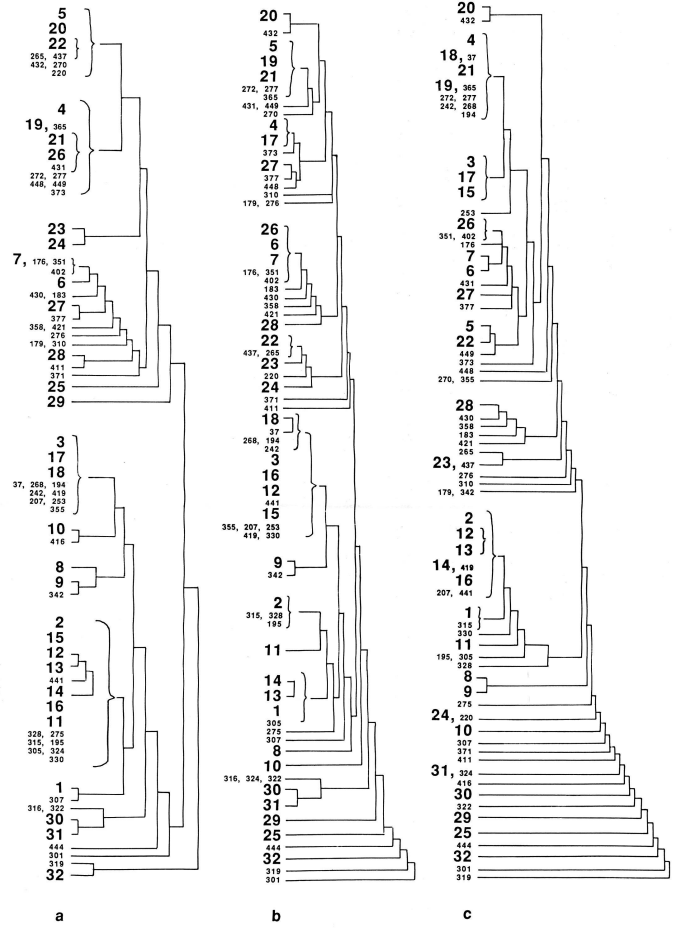


Figure 9 (Chap. 6.4.1.) - Clustering des relevés originaux de pelouses à *Laserpitium siler* et groupements analogues 273 relevés originaux, sauf: 331 à 342: RICHARD 1980; *Astragalus-Laserpitietum* - 444: (Ardon) DELARZE; steppe. Programme CLUSTAN, avec distance euclidienne, appliqué aux données réduites par une AFC préalable (77 axes et pondération des coordonnées).  
 Forme et symboles des dendrogrammes condensés: voir figure 5 (chap. 4.5).  
 Trois algorithmes: a) Ward's, b) complete linkage, c) average linkage.  
 1 à 32 : noyaux stables (liste des relevés appartenant aux noyaux, voir au dos)

Liste des relevés appartenant aux noyaux stables de la figure 9 (voir au dos)

<b>1</b>	306 451	308 452	309 453	311	312	442	443
<b>2</b>	160 200 240 304	161 201 249 323	164 202 250	174 203 251	197 204 252	198 205 256	199 206 292
<b>3</b>	84 168 189 227 245 259 414	85 169 190 233 246 261 415	108 170 192 234 247 263 440	113 171 222 235 248 273 447	122 184 223 236 255 274 450	135 186 224 237 257 375	139 188 226 244 258 378
<b>4</b>	33 191 215 238 357 403	44 193 216 239 367 409	82 209 217 243 368 410	172 211 218 254 374 445	180 212 221 260 379 446	181 213 231 341 399	187 214 232 356 401
<b>5</b>	167 290	182 291	225 293	264 406	266 407	267 420	278 433
<b>6</b>	380	389	390	20	20 262	22	219
<b>7</b>	230	412	413	21	405	408	
<b>8</b>	331 336	332	333	22	271	369	
<b>9</b>	334 338	335 339	337 340	23	426	427	428
<b>10</b>	352	353	354	24	434	435	436
<b>11</b>	303	320		25	359	360	
<b>12</b>	162 208	166 294	177	26	81 393 396 400	391 394 397 404	392 395 398
<b>13</b>	313	314		27	329	417	418
<b>14</b>	302	376		28	381 384 387	382 385 388	383 386
<b>15</b>	185	210	241	29	422 425	423	424
<b>16</b>	163	165	196	30	317	318	
<b>17</b>	175	372		31	321	325	
<b>18</b>	228	229		32	326	327	
<b>19</b>	366	370					

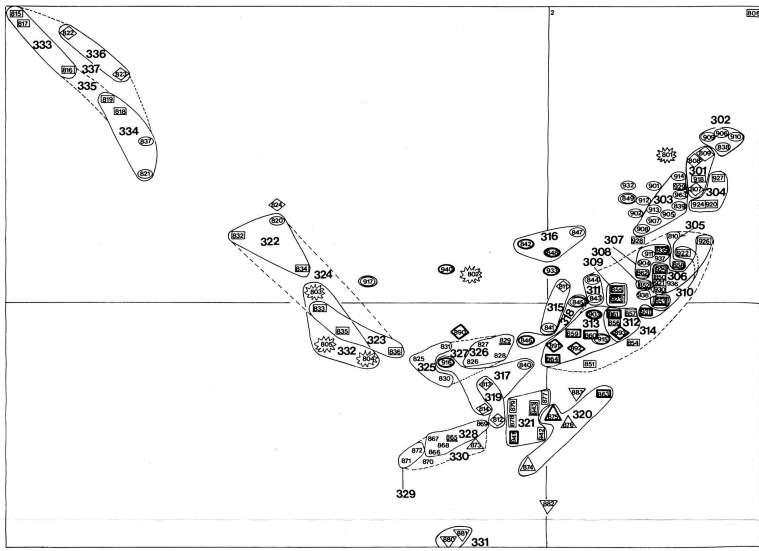


Figure 18 (Chap. 9.1) - AFC de l'analyse "générale" des pelouses à *Laserpitium siler* et Alliances voisines  
 Programme CORRES  
 Matériel: 131 groupements végétaux représentés par la constance de leurs espèces (codée selon 2,4), numérotés à partir de 801 (chiffres maigres). Les figurés indiquent dans quelle alliance ces groupements sont classés pour l'instant. La largeur du trait renseigne sur la présence de *Laserpitium siler*:  
 trait maigre : *Laserpitium siler* absent ou accidentel  
 double trait : " " de constance + à II  
 trait gras : " " de constance III à IV  
 301 à 337 : noyaux stables dégagés par le clustering (fig. 19), entourés d'un cerne

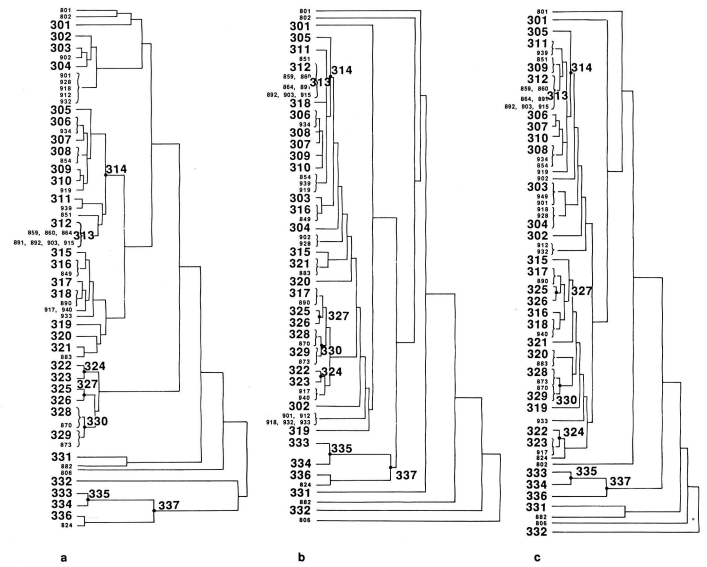


Figure 19 (Chap. 9.1.). Clustering de l'analyse "générale" des pelouses à *Laserpitium siler* et alliances voisines  
 Programme CLUSTAN, après réduction des données par une AFC préalable (50 axes, pondération des coordonnées); distance euclidienne.  
 Matériel comme figure 18.  
 Algorithmes: a) Ward's, b) average linkage, c) complete linkage.  
 Forme et symboles des dendrogrammes condensés: voir figure 5 (chap. 4.5).  
 801 et suivants : groupements végétaux  
 301 à 337 : noyaux stables; leur composition est fournie par les cerne reportés sur la figure 18.





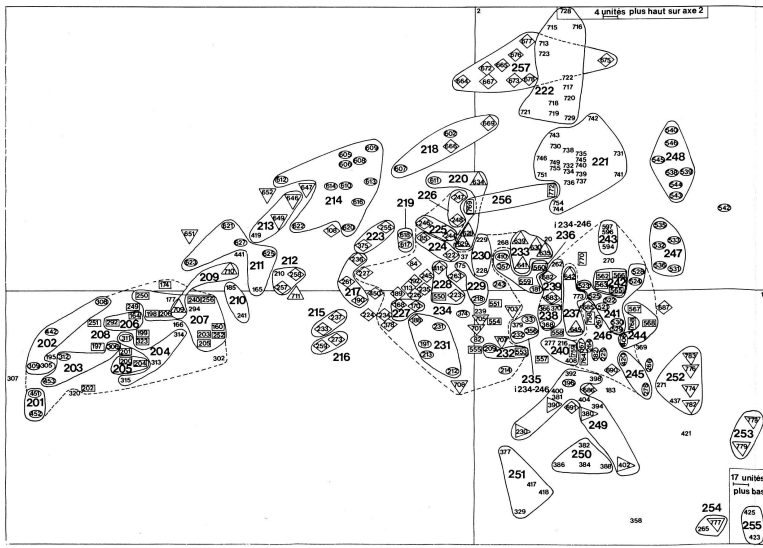


Figure 16 (Chap. 9.1) - AFC de l'analyse «restreinte» des pelouses à *Laserpitium siler*  
Programme CORRES. 201 à 257 : noyaux stables du clustering fig. 17.

Matériel : 300 relevés de 3 types :

1. Numéros inférieurs à 500 et sans figuré: 55 relevés originaux n'appartenant pas aux groupements originaux décrits dans ce travail (chap. 8.2). Ces relevés sont introduits pour servir de «liants», pour restituer la palette de variation syntaxonomique continue entre les groupes typés.
2. Numéros inférieurs à 500 entourés d'un figuré: 98 relevés originaux appartenant aux 6 groupements originaux distingués dans ce travail (chap. 8.2).
3. Numéros supérieurs à 500 : 147 relevés publiés issus de toutes les associations méditerranéennes de pelouses à *Laserpitium siler* et de quelques associations affines.

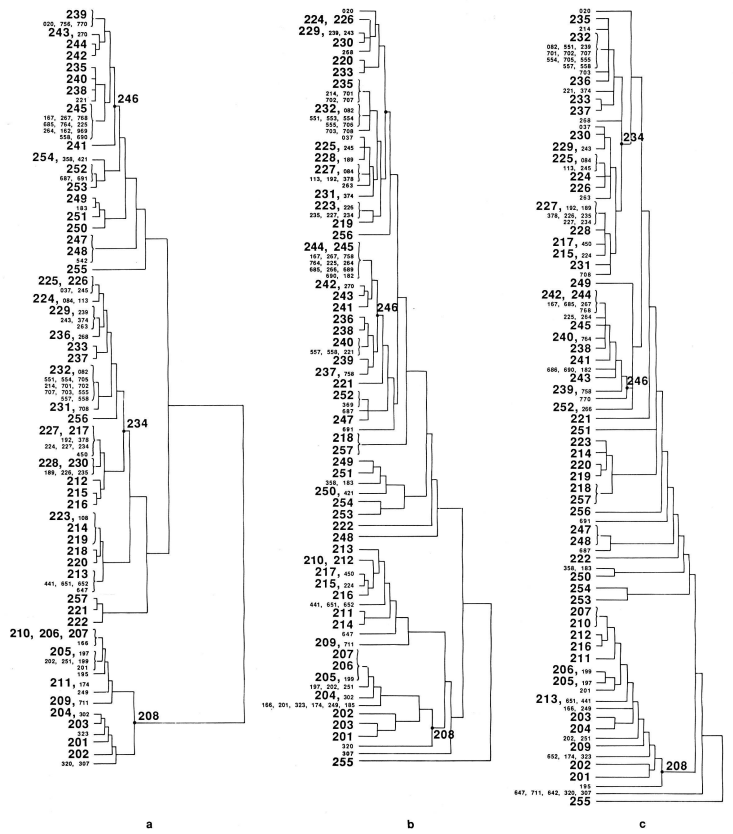


Figure 17 (Chap. 9.1.) - Clustering de l'analyse «restreinte» des pelouses à *Laserpitium siler*

Matériel comme figure 16


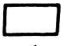
















Programme CLUSTAN après réduction des données par une AFC préalable (88 axes, pondération des coordonnées); distance euclidienne.

Condensé des dendrogrammes produits par 3 algorithmes: a) Ward's, b) complete linkage, c) average linkage.

Forme et symboles des dendrogrammes condensés: voir figure 5 (chap. 4.5.).

20 à 770 relevés; 201 à 257: noyaux stables.

La composition des 57 noyaux stables est fournie par les cerne reportés sur la carte factorielle (fig. 16).

Figuré du noyau	Numéros compris entre :	Nom du groupement	Référence	Numéro du groupement dans fig. 18-19	
	306 et 453	Groupement original I	Chap. 8.2.	-	
	160 et 323	Groupement original II	Chap. 8.2.	890	
	84 et 378	Groupement original III	Chap. 8.2.	891	
	33 et 410	Groupement original IV	Chap. 8.2.	892	
	167 et 420	Groupement original V	Chap. 8.2.	893	
	230 et 402	Groupement original VI	Chap. 8.2.	-	
	521 et 530	<i>Serratulo-Caricetum sempervirentis</i>	BERSET (1969, p. 40)	861	
	531 et 546	<i>Pulsatillo-Anemonetum</i>	BÉGUIN (1972, p. 68-69)	852	
	550 et 551	Var. à <i>Dracocephalum</i>	Sass. à <i>Buphtalmum</i>	RICHARD (1977, p. 16)	860
	553 et 558	Var. à <i>Molinia</i>		<i>Peucedano-Laserpitietum</i>	
	559 et 568	Sass. à <i>Anemone narcissiflora</i>			
<b>[243]</b>	594 et 597	<i>Senecioni-Semperviretum</i>	RICHARD (1977, p. 25)	862	
	602 et 620	<i>typicum et arctostaphylet.</i>	Seslerio-Laserpitietum	BÉGUIN (1972, p. 76-77)	846
	621 et 627	<i>stipetosum</i>			
	628 et 645	<i>Campanulo-Laserpitietum</i>	BÉGUIN (1972, p. 76-77)	859	
	646 et 652	<i>Teucrio-Globularietum</i>	RICHARD (1977, p. 26)	842	
	664 et 678	<i>Seslerio-Arctostaphyletum</i>	BÉGUIN (1972, p. 90-91)	845	
	682 et 691	<i>Caricetum ferrugineae calamagrostietosum</i>	DUTOIT (1983, VN 30)	856	
	701 et 708	Ass. à <i>Avena pratensis</i> et <i>Peucedanum austriacum</i>	BERSET (1954, p. 511-516)	864	
	709 et 711	<i>Seslerio-Laserpitietum</i>	PUTOT (1975, p. 68)	916	
<b>[222]</b>	713 et 729	<i>Plantagini-Caricetum</i>	BÉGUIN (1972, p. 104-105)	844	
<b>[221]</b>	730 et 755	<i>Seslerio-Caricetum jurassicum</i>	BÉGUIN (1972, p. 96-97)	843	
	758 et 772	<i>Seslerio-Semperviretum</i>	DUTOIT (1934, p. 380-384)	903	
<b>[237]</b>	773	Groupement à <i>Carex sempervirens</i> et <i>Laserpitium siler</i>	LÜDI (1953, p. 47)	915	
	774 et 783	<i>Caricetum ferrugineae</i>	DUTOIT (1983, VN 33)	857	
	20 et 441	55 relevés originaux hors groupement	Tableau 10		

Code	Libellé	Unité	Année	Indicateur	Source	Statut	Commentaire
1	...	...	...	...	...	...	...
2	...	...	...	...	...	...	...
3	...	...	...	...	...	...	...
4	...	...	...	...	...	...	...
5	...	...	...	...	...	...	...
6	...	...	...	...	...	...	...
7	...	...	...	...	...	...	...
8	...	...	...	...	...	...	...
9	...	...	...	...	...	...	...
10	...	...	...	...	...	...	...
11	...	...	...	...	...	...	...
12	...	...	...	...	...	...	...
13	...	...	...	...	...	...	...
14	...	...	...	...	...	...	...
15	...	...	...	...	...	...	...
16	...	...	...	...	...	...	...
17	...	...	...	...	...	...	...
18	...	...	...	...	...	...	...
19	...	...	...	...	...	...	...
20	...	...	...	...	...	...	...
21	...	...	...	...	...	...	...
22	...	...	...	...	...	...	...
23	...	...	...	...	...	...	...
24	...	...	...	...	...	...	...
25	...	...	...	...	...	...	...
26	...	...	...	...	...	...	...
27	...	...	...	...	...	...	...
28	...	...	...	...	...	...	...
29	...	...	...	...	...	...	...
30	...	...	...	...	...	...	...
31	...	...	...	...	...	...	...
32	...	...	...	...	...	...	...
33	...	...	...	...	...	...	...
34	...	...	...	...	...	...	...
35	...	...	...	...	...	...	...
36	...	...	...	...	...	...	...
37	...	...	...	...	...	...	...
38	...	...	...	...	...	...	...
39	...	...	...	...	...	...	...
40	...	...	...	...	...	...	...
41	...	...	...	...	...	...	...
42	...	...	...	...	...	...	...
43	...	...	...	...	...	...	...
44	...	...	...	...	...	...	...
45	...	...	...	...	...	...	...
46	...	...	...	...	...	...	...
47	...	...	...	...	...	...	...
48	...	...	...	...	...	...	...
49	...	...	...	...	...	...	...
50	...	...	...	...	...	...	...
51	...	...	...	...	...	...	...
52	...	...	...	...	...	...	...
53	...	...	...	...	...	...	...
54	...	...	...	...	...	...	...
55	...	...	...	...	...	...	...
56	...	...	...	...	...	...	...
57	...	...	...	...	...	...	...
58	...	...	...	...	...	...	...
59	...	...	...	...	...	...	...
60	...	...	...	...	...	...	...
61	...	...	...	...	...	...	...
62	...	...	...	...	...	...	...
63	...	...	...	...	...	...	...
64	...	...	...	...	...	...	...
65	...	...	...	...	...	...	...
66	...	...	...	...	...	...	...
67	...	...	...	...	...	...	...
68	...	...	...	...	...	...	...
69	...	...	...	...	...	...	...
70	...	...	...	...	...	...	...
71	...	...	...	...	...	...	...
72	...	...	...	...	...	...	...
73	...	...	...	...	...	...	...
74	...	...	...	...	...	...	...
75	...	...	...	...	...	...	...
76	...	...	...	...	...	...	...
77	...	...	...	...	...	...	...
78	...	...	...	...	...	...	...
79	...	...	...	...	...	...	...
80	...	...	...	...	...	...	...
81	...	...	...	...	...	...	...
82	...	...	...	...	...	...	...
83	...	...	...	...	...	...	...
84	...	...	...	...	...	...	...
85	...	...	...	...	...	...	...
86	...	...	...	...	...	...	...
87	...	...	...	...	...	...	...
88	...	...	...	...	...	...	...
89	...	...	...	...	...	...	...
90	...	...	...	...	...	...	...
91	...	...	...	...	...	...	...
92	...	...	...	...	...	...	...
93	...	...	...	...	...	...	...
94	...	...	...	...	...	...	...
95	...	...	...	...	...	...	...
96	...	...	...	...	...	...	...
97	...	...	...	...	...	...	...
98	...	...	...	...	...	...	...
99	...	...	...	...	...	...	...
100	...	...	...	...	...	...	...

Tableau (Tableau 6.1) - Récapitulatif de données (continued)

Table with multiple columns and rows, containing numerical data and text descriptions. The table is oriented vertically on the page.

